

УДК 535.34

## СПЕКТРЫ ДВУХВАЛЕНТНОГО САМАРИЯ В КРИСТАЛЛАХ $\text{LaF}_3$

© 2015 г. Е. А. Раджабов<sup>1,2</sup>, В. А. Козловский<sup>1</sup>

E-mail: eradzh@igc.irk..ru

Исследованы оптические спектры и электропроводность кристаллов  $\text{LaF}_3$ , содержащих ионы  $\text{Sm}^{2+}$ . Группы линий свечения 560–620, 650–690 и 680–770 нм при температуре 7.9 К обусловлены переходами с уровней  $^5D_2$ ,  $^5D_1$ ,  $^5D_0$  на уровень  $^7F_j$  иона  $\text{Sm}^{2+}$ . Излучательные переходы с уровня  $^5D_0$  характеризуются временем затухания 8.9 мс и температурным тушением в интервале 70–160 К. Обнаружена линейная зависимость электрической проводимости кристаллов от величины полос поглощения ионов  $\text{Sm}^{2+}$ , что вызвано наличием анионных вакансий, компенсирующих недостаточный заряд ионов  $\text{Sm}^{2+}$ . Длинноволновая полоса поглощения при 600 нм, отсутствующая в спектрах возбуждения, обусловлена переходом с  $4f\text{Sm}^{2+}$  на  $1s$ -уровень анионной вакансии. Полосы поглощения с длиной волны менее 520 нм обусловлены переходами  $4f\text{--}5d$  в ионах  $\text{Sm}^{2+}$ .

DOI: 10.7868/S0367676515020210

### ВВЕДЕНИЕ

В 60-х годах прошлого века детально исследована спектроскопия ионов  $\text{Sm}^{2+}$  в кристаллах щелочно-земельных фторидов [1, 2] и кристаллах щелочных галоидов. Исследования в основном были направлены на понимание схемы уровней энергии и влияния кристаллического поля, а также на флуоресценцию для лазерных приложений. При низких температурах ионы  $\text{Sm}^{2+}$  обладают эффективным свечением в ближней инфракрасной области (около 700 нм) (переходы  $^5D_0\text{--}^7F_1$ ). В кристаллах фторидов Ba и Sr свечение тушится выше 200 К, тогда как в  $\text{CaF}_2$  свечение частично сохраняется и при комнатной температуре. Это позволило предложить материал  $\text{CaF}_2\text{--Sm}^{2+}$  в качестве “красного” сцинтилятора для рентгеновского излучения [5].

Несмотря на то что оптические спектры  $\text{LaF}_3\text{--Sm}^{3+}$  исследованы подробно [3], спектроскопия двухвалентного самария в  $\text{LaF}_3$  остается неисследованной. Слабую зеленоватую окраску некоторых выращенных кристаллов  $\text{LaF}_3\text{--SmF}_3$  связывали с преобразованием небольшой доли  $\text{Sm}^{3+}$  в ионы  $\text{Sm}^{2+}$  [4]. В то же время  $f\text{--}f$ -спектры  $\text{Sm}^{2+}$  в родственных кристаллах  $\text{LaCl}_3$ ,  $\text{LaBr}_3$  и других исследованы достаточно подробно [6]. Поскольку  $\text{Sm}^{2+}$  замещает ион  $\text{La}^{3+}$ , необходим зарядовый компенсатор, природа которого неизвестна [6].

Цель настоящего исследования – спектроскопия оптических переходов (поглощения и свече-

ния), связанных с ионами двухвалентного самария, а также установление природы зарядового компенсатора ионов  $\text{Sm}^{2+}$  в  $\text{LaF}_3$ .

### МЕТОДИКА ЭКСПЕРИМЕНТА

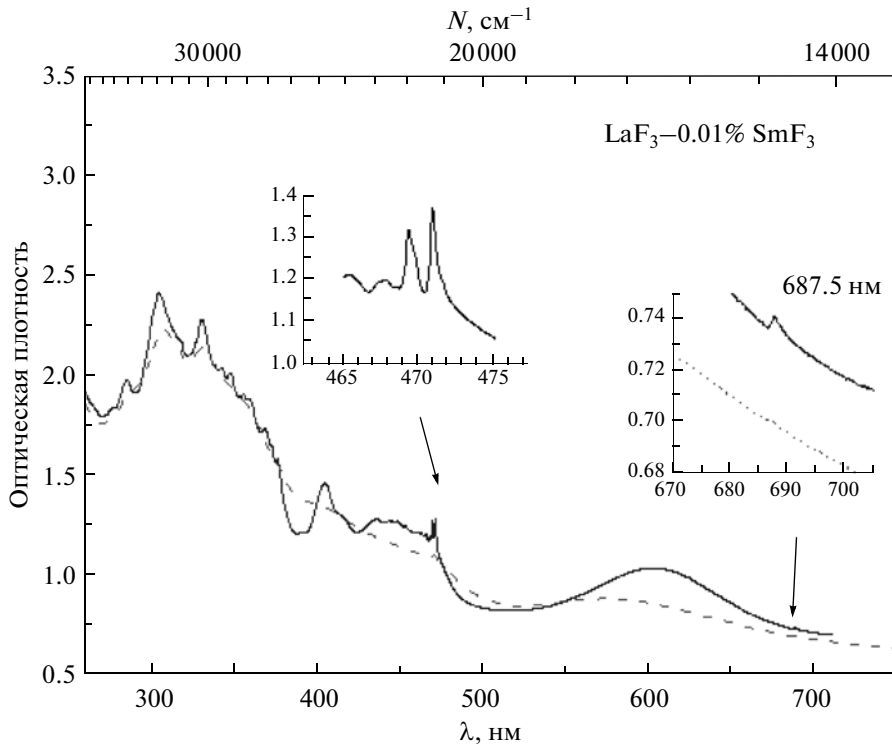
Кристаллы  $\text{LaF}_3$  выращивали методом Стокбаргера в трехствольном графитовом тигле в вакууме. Несколько процентов  $\text{CdF}_2$  добавляли в сырье для очистки от примеси кислорода. Концентрация примеси  $\text{SmF}_3$  в шихте была 0.01, 0.1 и 0.3 мол. %. Были выращены кристаллы, содержащие только  $\text{Sm}^{3+}$ , а также кристаллы, в которых существенная доля ионов трехвалентного самария преобразована в двухвалентную форму (далее обозначим их как  $\text{LaF}_3\text{--Sm}^{3+}$  и  $\text{LaF}_3\text{--Sm}^{2+}$ , соответственно). Цвет кристаллов  $\text{LaF}_3\text{--Sm}^{2+}$  изменялся от светло- до темно-зеленого с ростом концентрации самария, кристаллы  $\text{LaF}_3\text{--Sm}^{3+}$  были бесцветными.

Спектры поглощения в области 190–3000 нм измеряли на спектрофотометре Perkin-Elmer Lambda-950, спектры свечения и спектры в области вакуумного ультрафиолета до 120 нм измеряли на лабораторной установке с использованием монохроматоров BMP2 (115–300 нм) и МДР2. Источник вакуумного ультрафиолета – разрядная дейтериевая лампа L7292 (Hamamatsu), приемником излучения был ФЭУ142.

Электрическая проводимость измерена на переменном токе на частоте 1 кГц при напряжении 4 В при комнатной температуре. Контакты наносили токопроводящим клеем “Контактол” на серебре. Переменное напряжение подавалось на последовательно соединенные ячейку с кристаллом и нагрузочное сопротивление 1 МОм – входное сопротивление осциллографа Rigol 1202. Наименьшая измеряемая аппаратурой проводи-

<sup>1</sup> Федеральное государственное бюджетное учреждение науки Институт геохимии имени А.П. Виноградова Сибирского отделения Российской академии наук, Иркутск.

<sup>2</sup> Федеральное государственное бюджетное образовательное учреждение высшего профессионального образования “Иркутский государственный университет”.



**Рис. 1.** Спектры поглощения ионов  $\text{Sm}^{2+}$  в кристаллах  $\text{LaF}_3-0.01\% \text{ SmF}_3$  при температурах 7 (сплошная линия) и 295 К (штриховая линия). На врезках показана тонкая структура линий поглощения. В спектрах  $\text{LaF}_3$ , содержащих только  $\text{Sm}^{3+}$ , не наблюдалась полосы поглощения в этой области.

мость была около  $10^{-9} \Omega^{-1} \cdot \text{см}^{-1}$ , что позволяло достаточно точно измерять проводимость  $\text{LaF}_3$  на уровне  $10^{-6} \Omega^{-1} \cdot \text{см}^{-1}$  и более.

## РЕЗУЛЬТАТЫ

### Оптические спектры

В спектре поглощения  $\text{LaF}_3-\text{Sm}^{2+}$  наблюдались широкая бесструктурная полоса с максимумом около 600 нм и ряд полос при длинах волн менее 480 нм со слабо выраженной структурой при низких температурах (рис. 1). Наблюдалась двойная линия около 470 нм и линия около 690 нм (см. рис. 1). Все полосы пропорционально увеличивались с ростом концентрации  $\text{Sm}^{2+}$ . Такой же по форме, но значительно меньший по оптической плотности спектр поглощения появлялся после облучения кристаллов  $\text{LaF}_3-\text{Sm}^{3+}$  рентгеновским излучением.

В спектрах свечения при возбуждении светом лазера 405 нм при 7.9 К наблюдался ряд узких линий в диапазоне длин волн 500–900 нм, с линией максимальной интенсивности 698.5 нм (рис. 2). Для ионов самария  $\text{Sm}^{2+}$  весь спектр свечения можно разделить на три группы линий. Расстояния между линиями в группе соответствуют известным расстояниям между уровнями  $^7F_j$  иона

$\text{Sm}^{2+}$  в других кристаллах [6]. Группы линий можно с уверенностью приписать переходам с уровней  $^5D_2$ ,  $^5D_1$ ,  $^5D_0$  на уровне  $^7F_j$  иона  $\text{Sm}^{2+}$  (см. рис. 2). Свечение с уровня  $^5D_0$  характеризуется временем затухания 8.9 мс при 7.5 К.

Положение 4f-уровней иона  $\text{Sm}^{2+}$  можно сравнить с системой уровней изоэлектронного иона  $\text{Eu}^{3+}$ , уровня которого известны во многих кристаллах (рис. 3). Основное состояние  $^7F_0$ , первые возбужденные уровни  $^7F_1$ – $^7F_6$ , возбужденные состояния в видимой области –  $^5D_0$ – $^5D_4$ . Для кристаллов  $\text{LaCl}_3$  известны положения уровней  $\text{Eu}^{3+}$  –  $^5D_0$ – $^5D_3$  [6]. Энергии уровней  $\text{Sm}^{2+}$  в кристаллах  $\text{LaF}_3$  и  $\text{LaCl}_3$  близки и примерно на 20% меньше энергий уровней  $\text{Eu}^{3+}$  в  $\text{LaCl}_3$  (см. рис. 3).

Температурная зависимость тушения линий ( $^5D_2$ ,  $^5D_1$ ,  $^5D_0 \rightarrow ^7F_0$ ) при постоянной скорости нагрева 10 К/мин имеет как минимум три этапа – 20–30, 50–70 и 115–160 К. Этапы тушения обусловлены взаимодействием уровней между собой и безызлучательным переходом на основное состояние.

В спектрах возбуждения свечения  $\text{Sm}^{2+}$  при температуре 80 К наблюдаются полосы при 485, 415 и 330 нм. Эффективность возбуждения резко уменьшается при длинах волн больше 500 нм, и

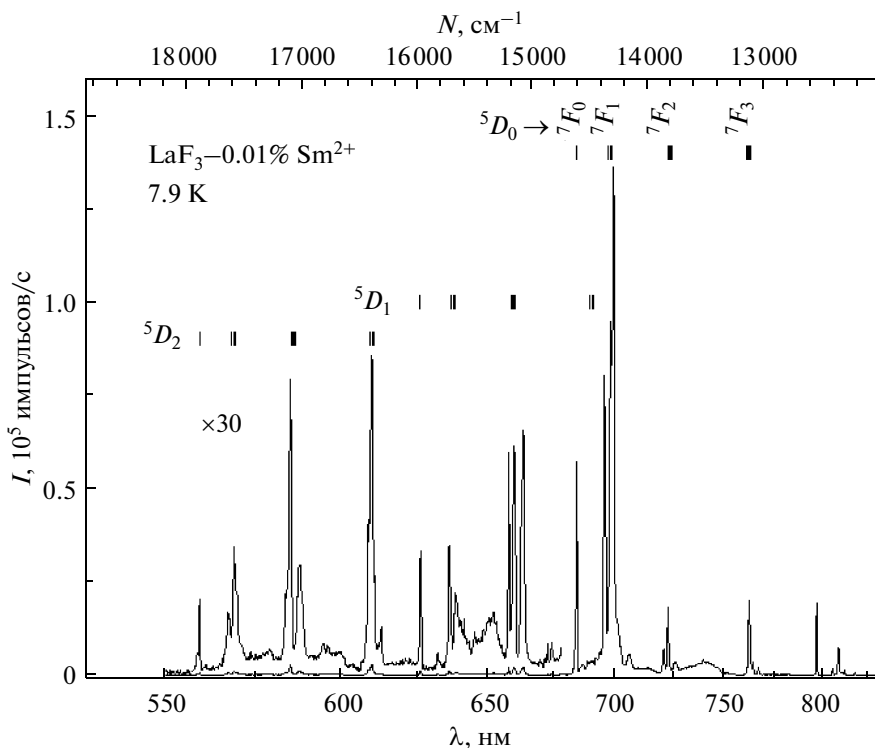


Рис. 2. Спектры свечения ионов  $\text{Sm}^{2+}$  в кристаллах  $\text{LaF}_3-0.01\% \text{SmF}_3$  при температуре 7.9 К. Левая часть спектра увличена в 30 раз. Над линиями показаны группы переходов  $^5D_j-^7F_j$  с сохранением верхних и нижних символов.

свечение  $\text{Sm}^{2+}$  не было обнаружено при возбуждении светом лазера 532 нм. Полосы возбуждения и поглощения в области менее 500 нм несомненно относятся к переходам  $4f-5d$  в ионах  $\text{Sm}^{2+}$ .

#### Электропроводность

Поскольку двухвалентный ион самария имеет заряд меньше заряда лантана, для сохранения электрической нейтральности требуется избыточный положительный заряд. Первоначально предполагалось, что компенсация заряда в кристаллах  $\text{LaCl}_3-\text{Sm}^{2+}$  может осуществляться междуузельным положительным ионом или переносом электрона с ближайшего галоида на  $\text{Sm}^{2+}$  [6]. При исследовании кристаллов  $\text{LaF}_3$  с примесью двухвалентных щелочно-земельных металлов  $\text{Ca}^{2+}$ ,  $\text{Sr}^{2+}$ ,  $\text{Ba}^{2+}$  однозначно установлено, что зарядовыми компенсаторами являются вакансии фтора [8, 9]. Добавление двухвалентных примесей приводит к увеличению ионной проводимости [8], появлению пиков на кривой термостимулированной деполяризации, диэлектрических потерь [8] и расщеплению пиков в спектрах ядерного магнитного резонанса  $^{19}\text{F}$  [9]. Наблюдаемые явления вызваны миграцией анионных вакансий. С учетом этого можно предположить, что зарядовым компенсатором двухвалентного самария в кристаллах фто-

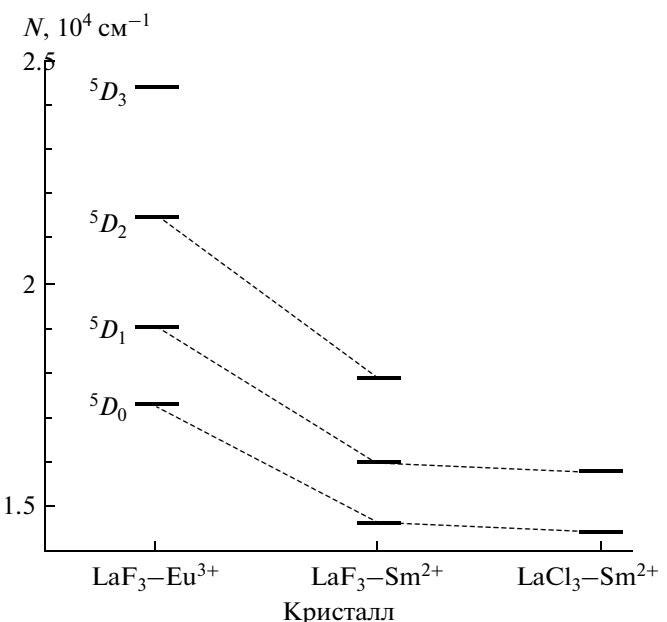
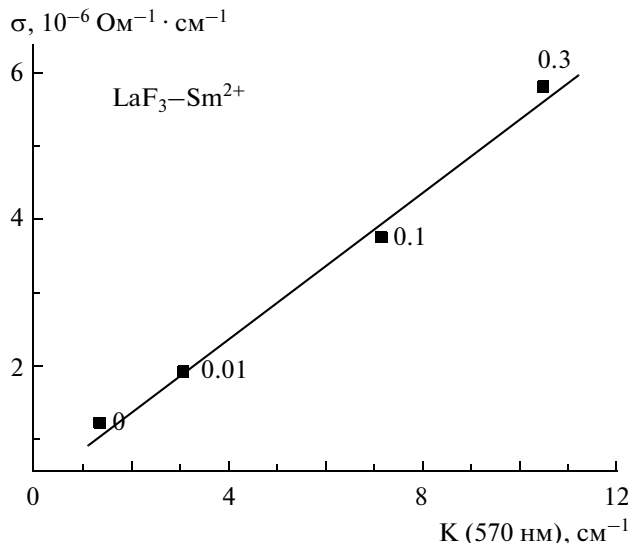


Рис. 3. Диаграмма уровней энергии ионов  $\text{Eu}^{3+}$  в  $\text{LaCl}_3$  [6] и  $\text{Sm}^{2+}$  в кристаллах  $\text{LaCl}_3$  [12],  $\text{LaF}_3$ . В ионах  $\text{Sm}^{2+}$  энергия термов уменьшается на 18–20% по отношению к энергии одноименных термов  $\text{Eu}^{3+}$ .



**Рис. 4.** Зависимость электропроводности кристаллов  $\text{LaF}_3\text{-Sm}^{2+}$  от оптической плотности в полосе поглощения при 570 нм для образцов толщиной 3 мм. Рядом с экспериментальными точками указана концентрация примеси  $\text{SmF}_3$ , добавленной в шихту.

ристого лантана, вполне вероятно, может быть анионная вакансия.

Особенностью  $\text{LaF}_3$  является высокая электрическая проводимость беспримесных кристаллов при комнатной температуре, которая составляет величину около  $10^{-6} \text{ Ом}^{-1} \cdot \text{см}^{-1}$  [10]. Проводимость фторида лантана на несколько порядков больше проводимости щелочно-земельных фторидов. Многочисленными исследованиями установлено, что проводимость  $\text{LaF}_3$  обусловлена миграцией вакансий фторов [8, 9, 10]. При введении двухвалентных ионов  $\text{Ba}$ ,  $\text{Sr}$ ,  $\text{Ca}$  проводимость  $\text{LaF}_3$  значительно увеличивается, что вызвано образованием при выращивании кристалла зарядо-компенсирующих анионных вакансий. С увеличением концентрации  $\text{Ba}^{2+}$  изотермическая проводимость  $\text{LaF}_3$  увеличивалась и выходила на насыщение при концентрации бария около 8% [11]. Таким образом, по величине электрической проводимости можно судить о концентрации анионных вакансий. Вследствие сильной контактной поляризации кристаллов  $\text{LaF}_3$  [11] электрическую проводимость измеряют на переменном токе.

Проводимость выращенных нами беспримесных кристаллов  $\text{LaF}_3$  была  $(0.4\text{--}1.2) \cdot 10^{-6} \text{ Ом}^{-1} \cdot \text{см}^{-1}$  в зависимости от исходного сырья. Величина проводимости слабо зависела от концентрации ионов  $\text{Sm}^{3+}$ . С увеличением концентрации двухвалентного самария проводимость кристаллов монотонно увеличивалась. Обнаружена линейная зависимость величины проводимости кристаллов от величины оптического поглощения ионов  $\text{Sm}^{2+}$  (рис. 4).

Эти факты – весомое доказательство компенсации заряда  $\text{Sm}^{2+}$  вакансиею фтора. Вследствие значительного кулоновского притяжения разноименных зарядов можно полагать, что подавляющая часть положительно заряженных вакансий фтора расположена в непосредственной близости от эффективно отрицательно заряженных ионов  $\text{Sm}^{2+}$ .

### Расчеты

Для оценки влияния уровней соседней анионной вакансии на оптические переходы в  $\text{Sm}^{2+}$  были проведены неэмпирические расчеты оптических переходов небольшого кластера кристалла  $\text{LaF}_3$ . Ненарушенный кластер состоял из центрального фтора и ближайших сфер окружающих ионов –  $\text{La}_4\text{F}_8$  с зарядом 4+. Волновые функции La и F взяты из базиса LANL2DZ, волновые функции самария – из базиса SDD, в котором волновые функции *f*-орбиталей представлены более полно. Расчеты производились с использованием лицензионного пакета квантовохимических программ “Gaussian03” [16] методом функционала плотности (DFT). Оптические переходы рассчитывались методом TDDFT. В кристаллической решетке  $\text{LaF}_3$  смешанные слои ионов La и F перемежаются двумя слоями фтора. Начало координат выбрано на ионе фтора, поскольку волновые функции F-центра диффузны, и для правильной их передачи нужно применять несколько слоев ближайшего окружения. Координаты ионов решетки  $\text{LaF}_3$  взяты из статьи [17]. Расчет F-центра показал, что в запрещенной зоне появляется локальный уровень, занятый одним электроном. Оптические переходы F-центра находятся в области 2–3.5 эВ (сила осциллятора около 0.2), что довольно близко к экспериментальным значениям 1.9, 2.1, 2.7 эВ [18]. Замена ближайшего к вакансии иона лантана на самарий приводит к оптическому спектру, состоящему из полос около 1400, 1300 нм и максимальной при 900 нм, а также группы полос в диапазоне 480–300 нм. Длинноволновые полосы обусловлены переходами с  $4f^6$  состояний самария на уровень анионной вакансии. В коротковолновых полосах вклад переходов  $4f^6\text{--}4f^55d^1$  в ионе  $\text{Sm}^{2+}$  становится существенным.

### ОБСУЖДЕНИЕ РЕЗУЛЬТАТОВ

Длинноволновая полоса возбуждения свечения  $\text{Sm}^{2+}$  наблюдалась нами при 485 нм, что соответствует оценкам [7], по которым длинноволновые переходы  $4f^6\text{--}4f^55d^1$  в ионах  $\text{Sm}^{2+}$  в  $\text{LaF}_3$  должны наблюдаться около 490 нм. В связи с этим природа полосы поглощения около 600 нм, величина которой пропорциональна величине других самаревых полос, остается непонятной.

Как известно анионная вакансия создает уровни в запрещенной зоне кристалла, на которые может переходить или захватываться электрон. Подобные переходы с уровня примеси на состояния соседней анионной вакансии наблюдались ранее для центров кислород-вакансия в кристаллах щелочных и щелочно-земельных галоидов [14, 15]. Поскольку и уровень F-центра (анионной вакансии, захватившей электрон), и основной уровень  $\text{Sm}^{2+}$  находятся глубоко в запрещенной зоне, то ответ на вопрос, какая конфигурация центра будет основной ( $\text{Sm}^{3+}$  – F-центр или  $\text{Sm}^{2+}$  – вакансия) нетривиален. Однако те факты, что мы наблюдаем линии свечения  $\text{Sm}^{2+}$  и увеличенную проводимость, несомненно, доказывают, что основным состоянием является конфигурация  $\text{Sm}^{2+}$  – вакансия. Тогда ближайшим по энергии возбужденным уровнем будет уровень анионной вакансии.

Рассмотрим возможную схему орбиталей центра  $\text{Sm}^{2+}$  – вакансия фтора. В основном состоянии центра все шесть внешних электронов располагаются на  $4f$  атомных орбиталах иона  $\text{Sm}^{2+}$ . Это обусловлено тем фактом, что  $4f$ -уровни  $\text{Sm}^{2+}$  находятся ниже по энергии в запрещенной зоне, чем уровень анионной вакансии. Первая полоса поглощения обусловлена переносом электрона на уровень вакансии, а последующие полосы обусловлены переносом на  $5d$ -состояния иона  $\text{Sm}^{2+}$ . Отсутствие линий свечения  $\text{Sm}^{2+}$  при возбуждении в длинноволновую полосу поглощения, очевидно, связано с значительной релаксацией первого возбужденного состояния. Предварительные расчеты квантовых кластеров  $\text{LaF}_3\text{-Sm}^{2+}$  подтверждают качественную схему молекулярных орбиталей центра  $\text{Sm}^{2+}$  – анионная вакансия.

Наиболее глубоко в запрещенной зоне кристалла  $\text{LaF}_3$  находятся основные состояния двухвалентных ионов  $\text{Sm}^{2+}$  (2.5 эВ от дна зоны проводимости),  $\text{Eu}^{2+}$  (3.7 эВ) и  $\text{Yb}^{2+}$  (3.3 эВ) [7], поэтому образование центров двухвалентный ион – анионная вакансия с подобной схемой уровней следует ожидать также для ионов  $\text{Eu}^{2+}$  и  $\text{Yb}^{2+}$ .

## ЗАКЛЮЧЕНИЕ

По результатам проведенных исследований можно сделать следующие основные выводы:

- низкотемпературные линейчатые спектры свечения кристаллов  $\text{LaF}_3\text{-Sm}^{2+}$  обусловлены группами переходов с уровнями  $^5D_2$ ,  $^5D_1$ ,  $^5D_0$  на уровне  $^7F_j$  в ионах  $\text{Sm}^{2+}$ ;
- зарядовым компенсаторами ионов  $\text{Sm}^{2+}$  являются анионные вакансии, находящиеся в ближайшем окружении примесных ионов;

- разрешенные оптические переходы электронов с  $4f$  оболочки ионов самария на  $1s$ -уровень вакансии обуславливают длинноволновую полосу поглощения при 600 нм, а переходы на уровне  $5d$  оболочки самария обуславливают полосы поглощения с длиной волны менее 500 нм.

Авторы выражают благодарность за консультации по измерению и пробные измерения проводимости на постоянном токе кристаллов фтористого лантана доценту кафедры экспериментальной физики Иркутского государственного университета Л.И. Щепиной.

Часть результатов настоящего исследования получены с использованием оборудования Байкальского аналитического центра коллективного пользования СО РАН.

## СПИСОК ЛИТЕРАТУРЫ

1. Wood D.L., Kaiser W. // Phys. Rev. 1962. V. 126. P. 2079.
2. Каплянский А.А., Феофилов П.П. // Оптика и спектроскопия. 1962. Т. 12. С. 493.
3. Carnall W., Goodman G.L., Rajnak K., Rana R.S. // J. Chem. Phys. 1989. V. 90. P. 3443.
4. Weller P.F. and Kucza J.A. // J. Appl. Phys. 1964. V. 35. H. 1945.
5. Dixie L., Edgar A., Bartle C. // Nucl. Instrum Methods A. 2014 V. 753. P. 131.
6. Dieke G.H. Spectra and energy levels of rare earth ions in crystals. New York, London, Sydney, Toronto: Intersc. Publ., 1968. 401 p.
7. Dorenbos P. // J. Lumin. 2013. V. 135. P. 93.
8. Roos A., Buws M., Wapenaar K.E.D., Schoonman J. // J. Phys. Chem. Sol. 1985. V. 46. P. 655.
9. Privalov A.F., Vieth H.-M., Murin I. V. // J. Phys.: Condens. Matter. 1994. V. 6. P. 8237.
10. Sher A., Solomon R., Lee K., Muller M.W. // Phys. Rev. 1966. V. 144. № 2. P. 593.
11. Roos A., Pol F.C.M. Van de, Kleim R., Shoonman J. // Solid State. Ionics. 1984. V. 13. P. 191.
12. Dieke G.H., Sarup R. // J. Chem. Phys. 1962. V. 36. P. 371.
13. Kumar U.V., Rao D.R., and Venkateswarlu P. // J. Chem. Phys. 1977. V. 66. P. 2019.
14. Егранов А.В., Раджабов Е.А. // Спектроскопия кислородных и водородных примесных центров в щелочно-галоидных кристаллах. Новосибирск: Наука, 1992. 159 с.
15. Mysovsky A.S., Sushko P.V., Radzhabov E.A., Reichling M., Shluger A.L. // Phys. Rev. B Condens. Matter. 2012. V. 84 064133.
16. Frisch M.J., Trucks G.W., Schlegel H.B. et al. Gaussian 03 (Revision E.1). Gaussian Inc., Pittsburgh PA. 2007.
17. Schlyter K. // Arkiv For kemi. 1953. Т. 5. № 1. С. 73.
18. Radzhabov E., Nepomnyashikh A.I. // Proc. Int. Conf. Inorganic Scintillators and Their Applications SCINT95, Delft, Netherlands: Delft Univ. Press, 1995. P. 189.